

# 非线性噪声抗性星座图设计

康浩 黄宗豪 黎治圻 李奇修

2020 年 10 月 10 日

## 目录

<b>1</b>	<b>摘要</b>	<b>2</b>
<b>2</b>	<b>问题的重述</b>	<b>2</b>
2.1	Problem1 . . . . .	2
2.2	Problem2 . . . . .	3
2.3	Problem3 . . . . .	3
<b>3</b>	<b>模型假设</b>	<b>3</b>
<b>4</b>	<b>变量说明</b>	<b>3</b>
<b>5</b>	<b>模型的建立与求解</b>	<b>4</b>
5.1	Problem1 . . . . .	4

1 摘要	2
5.2 Problem2 . . . . .	5
5.2.1 仅考虑熵约束的最值 . . . . .	6
5.2.2 考虑实际情况的限制（后期研究方向） . . . . .	10
6 队员以及特长	10

## 1 摘要

我们研究了在不同信道和不同概率成型下64QAM信号的各个信号点的分布概率，利用了超高斯分布模型和柯西不等式，希望使用了退火（进化）算法利用matlab求解，得到 $SNR_{eff}$ 最大的结果。我们认为，这样的结果是合理的。

关键字：非线性噪声 星座图 算法 概率成型 几何成型

## 2 问题的重述

### 2.1 Problem1

第一题是解一个一元超越方程，要求得一个常数，使得星座点的概率分布满足信息熵为5的情况下满足麦克斯韦-玻耳兹曼分布。

### 2.2 Problem2

第二题是一个多元函数求极值问题，通过调节参数 $P$ 和 $\lambda$ ，在满足超高斯分布的情况下令 $SNR_{eff}$ 最大。

### 2.3 Problem3

第三题是一个条件极值问题，它的困难主要在于未知数比较多。因此使用。。算法解决。

## 3 模型假设

1.将ASE噪声看作高斯噪声

2.第二题信息熵为5

3.第三题我们先考虑寻找在既定概率分布 $\{p_i\}$ 条件下使得 $\sum_{i=1}^{64} \frac{|b_i|^4 p_i}{(|b_i|^2 p_i)^2}$ 最小的距离分布 $\{b_i\}$ 所具有的共性，先使用调整法计算，然后进行简单的数学证明。之后加入与原点距离相等的点概率密度相同，各点轴对称分布的假设下，考虑几种模型。

## 4 变量说明

## 5 模型的建立与求解

### 5.1 Problem1

第一题主要的问题是在给定的信息熵的情况下对函数极值的求解。根据题目中给出的高斯分布 $p(x) = \frac{e^{-\lambda x^P}}{Z(\lambda)}$ ，以及 $x, y$ 分别独立可知处于 $(x, y)$ 的概率为 $p(x) = \frac{e^{-\lambda x^P}}{Z(\lambda)} \cdot \frac{e^{-\lambda y^P}}{Z(\lambda)}$ 。由于信息熵为 $\sum_{i=1}^{64} -p_i \log_2 p_i$ ，这是一个非线性方程限定下的一元函数极值求解问题。所以 $v$ 可以

参数符号	参数意义
$\sigma_{ASE}^2$	光放大器的自发辐射噪声
$P_{tx}$	入射光功率
$\sigma_{NLI}^2$	信号的非线性噪声
$Z(\lambda)$	归一化因子
$P$	指数参数
$SNR_{eff}$	SNR容忍度
$\chi_1\chi_2$	题设已知参数

用计算机求出，然后验证求出的结果为  $(0,1)$  上唯一的极值点。带入  $p(x) = \frac{e^{-\lambda x^P}}{Z(\lambda)}$  可得到概率分布，我们画了一个柱状图利于表达。求得  $v \approx 0.064$

## 5.2 Problem2

第二题主要的问题是通过调节  $P$  和  $\lambda$  令满足超高斯分布的星座图的  $SNR_{eff}$  最小。然而，通过初等的数学运算，我们发现在不加限制的条件下  $P$  应当趋向于无穷大，这显然不符合题意。而且分辨率十分的低。因此我们假设信息熵和第1题一样。这样，根据题目中给出的超高斯分布  $p(x) = \frac{e^{-\lambda x^P}}{Z(\lambda)}$ ，以及  $x, y$  分别独立可知处于  $(x, y)$  的概率为  $p(x, y) = p_x \cdot p_y$ ，得出非线性方程限定下的二元函数求极值问题。我们通过 Matlab 进行运算，得出信息熵为5的条件下  $P = 3.41$ ， $\lambda = 0.0092$  的情况下  $SNR_{eff}$  最小，最小值为  $1.96078 \cdot 10^{-6}$ 。

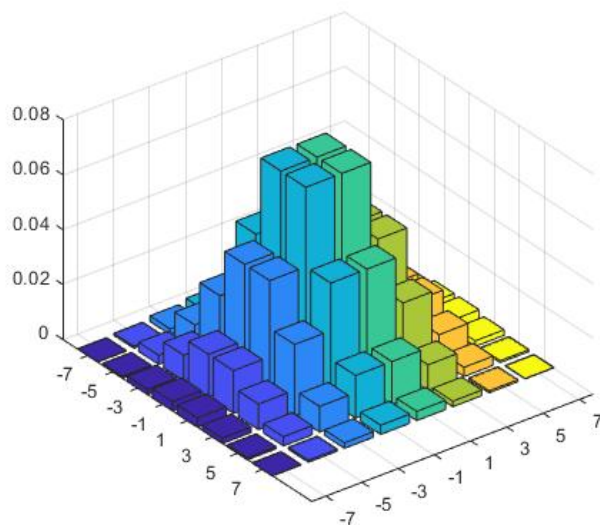


图 1: 概率密度柱状图

我们接下来准备画出 $P$ 、 $\lambda$ 和 $SNR_{eff}$ 的三维图像,当然这个限制也不一定对,我们推测可能有隐性的限制,但现在还未发现。另外,这个结果的唯一性缺乏严格的证明,只是 $P$ 在到6范围内最小的。

初等的数学运算附在这里:

由柯西不等式得到:

$$\sum_{i=1}^{64} |b_i|^4 p_i = (\sum_{i=1}^{64} p_i)(\sum_{i=1}^{64} |b_i|^4 p_i) \geq \sum_{i=1}^{64} \left( |b_i|^2 p_i \right)^2 \Theta$$

可知 $\mu$ 必然大于或等于1,而其中一种可能就是概率在临近原点的四个点最大,其他几乎为零,此时 $\mu$ 趋近于1,是 $SNR_{eff}$ 处于极大的条件,这个条件对应了 $P$ 趋近于无穷大的情况。

### 5.2.1 仅考虑熵约束的最值

要使 $SNR_{eff}$ 最大, 我们只需让 $\frac{\langle |b|^4 \rangle}{\langle |b|^2 \rangle^2}$ 最小。

我们首先考虑的是只在熵约束条件下,  $\frac{\langle |b|^4 \rangle}{\langle |b|^2 \rangle^2}$ 的最值情况

$$\text{目标式: } \min \sum_{i=1}^{64} \frac{|b_i|^4 p_i}{(|b_i|^2 p_i)^2}$$

$$\text{约束条件: } \text{Entropy} = \sum_{i=1}^{64} -p_i \log_2 p_i = 5$$

我们最初的想法是找到在既定的概率分布 $\{p_i\}$ 下, 使得 $\sum_{i=1}^{64} \frac{|b_i|^4 p_i}{(|b_i|^2 p_i)^2}$ 最小的距离分布 $\{b_i\}$ 所具有的共性, 由于距离分布不影响熵, 所以实际上是一个无约束的优化问题。我们的基本思路是基于调整法的。令 $T = \sum_{i=1}^{64} p_i b_i^4$ ,  $S = \sum_{i=1}^{64} p_i b_i^2$ , 假设将 $b_j$ 调整为 $b'_j$ , 调整过后, 具有增量:

$$\Delta = \frac{T}{S^2} - \frac{T - p_j b_j^4 + p_j b_j'^4}{(S - p_j b_j^2 + p_j b_j'^2)^2} = \frac{p_j (b_j^2 - b_j'^2) (T p_j b_j^2 - T p_j b_j'^2 - 2ST + S^2 b_j^2 + S^2 b_j'^2)}{S^2 (S - p_j b_j^2 + p_j b_j'^2)^2}$$

欲使调整过后目标函数 $\frac{T}{S^2}$ 减小, 应有 $\Delta \geq 0$ 。先考虑 $T p_j - S^2 < 0$ 的情况。

当 $b_j^2 < b_j'^2$ 时, 欲使调整过后目标函数 $\frac{T}{S^2}$ 减小 ( $\Delta > 0$ ),  $T p_j b_j^2 - T p_j b_j'^2 - 2ST + S^2 b_j^2 + S^2 b_j'^2 < 0$ , 即 $b_j^2 < \frac{2ST + (T p_j - S^2) b_j'^2}{(T p_j + S^2)}$ , 即 $b_j^2 < \min\{\frac{2ST + (T p_j - S^2) b_j'^2}{T p_j + S^2}, b_j'^2\}$ 在 $b_j^2$ 下 $\frac{T}{S^2}$ 已经取到最小值时, 使得上式成立的 $b_j'^2$ 应当不会存在。我们猜测, 在 $b_j^2$ 调整到 $\frac{T}{S}$ 时, 使得 $b_j^2 < \min\{\frac{2ST + (T p_j - S^2) b_j'^2}{T p_j + S^2}, b_j'^2\}$ 的 $b_j'^2$ 不会存在, 因为此时 $\frac{T}{S} < \frac{2ST + (T p_j - S^2) \frac{T}{S}}{(T p_j + S^2)} = \frac{T}{S}$ 矛盾。

当 $b_j^2 > b_j'^2$ 时, 欲使调整过后目标函数 $\frac{T}{S^2}$ 减小 ( $\Delta < 0$ ),  $T p_j b_j^2 - T p_j b_j'^2 - 2ST + S^2 b_j^2 + S^2 b_j'^2 > 0$ , 即 $b_j^2 > \frac{2ST + (T p_j - S^2) b_j'^2}{(T p_j + S^2)}$ , 即 $b_j^2 < \max\{\frac{2ST + (T p_j - S^2) b_j'^2}{T p_j + S^2}, b_j'^2\}$ 。我们猜测, 在 $b_j^2$ 调整到 $\frac{T}{S}$ 时, 使得 $b_j^2 < \max\{\frac{2ST + (T p_j - S^2) b_j'^2}{T p_j + S^2}, b_j'^2\}$ 的 $b_j'^2$ 不会存在, 因为此时 $\frac{T}{S} > \frac{2ST + (T p_j - S^2) \frac{T}{S}}{(T p_j + S^2)} = \frac{T}{S}$ 矛盾。

综上, 当调整 $b_j^2$ 时, 应当将其调整至 $\frac{T}{S}$  (当 $p_j < \frac{S^2}{T}$ )。

**Matlab程序:** ( $a_j = b_j^2$ )

```
a=rand(1,64);
p=rand(1,64);
sump=0;
for i=1:64
sump=sump+p(i);
end
for i=1:64
p(i)=p(i)/sump;
end
cnt=0;
while(1)
    cnt=cnt+1;
    if cnt >10000
        break;
    end
    T=0;
    S=0;
    for i=1:64
        T=T+p(i)*a(i)*a(i);
        S=S+p(i)*a(i);
    end
```

```

d=zeros(1,64);

maxi=-1;

maxx=-1;

for i=1:64

    d(i)=p(i)*(T/S-a(i))*(T/S-a(i));

    if d(i)>maxx&& p(i)<=S*S/T

        maxi=i;

        maxx=d(i);

    end

end

a(maxi)=T/S;

end

[a,s]=sort(a);

plot([1:1:64],a(1:64),'r.');
```

多次测量后发现点列的距离分布最终都具有使得 $|b_1| = |b_2| = \dots = |b_{64}|$ 的趋势，而此时 $\sum_{i=1}^{64} \frac{|b_i|^4 p_i}{(|b_i|^2 p_i)^2}$ 都有值为1，从而我们猜测，在任意的概率分布下，不改变熵约束条件， $\min \sum_{i=1}^{64} \frac{|b_i|^4 p_i}{(|b_i|^2 p_i)^2} = 1$ 。

下面我们给出严格的证明：

$\sum_{i=1}^{64} |b_i|^4 p_i = (\sum_{i=1}^{64} p_i)(\sum_{i=1}^{64} |b_i|^4 p_i) \geq \sum_{i=1}^{64} (|b_i|^2 p_i)^2$ ，等号在 $\frac{|b_1|^4 p_1}{p_1} = \frac{|b_2|^4 p_2}{p_2} = \dots = \frac{|b_{64}|^4 p_{64}}{p_{64}}$ 时成立，即 $|b_1| = |b_2| = \dots = |b_{64}|$ 。

从而在只考虑熵约束条件下，使得 $\frac{\langle |b|^4 \rangle}{\langle |b|^2 \rangle^2}$ 最小，只用考虑概率分布 $\{p_i\}$ ，因为 $\{b_i\}$ 无论如



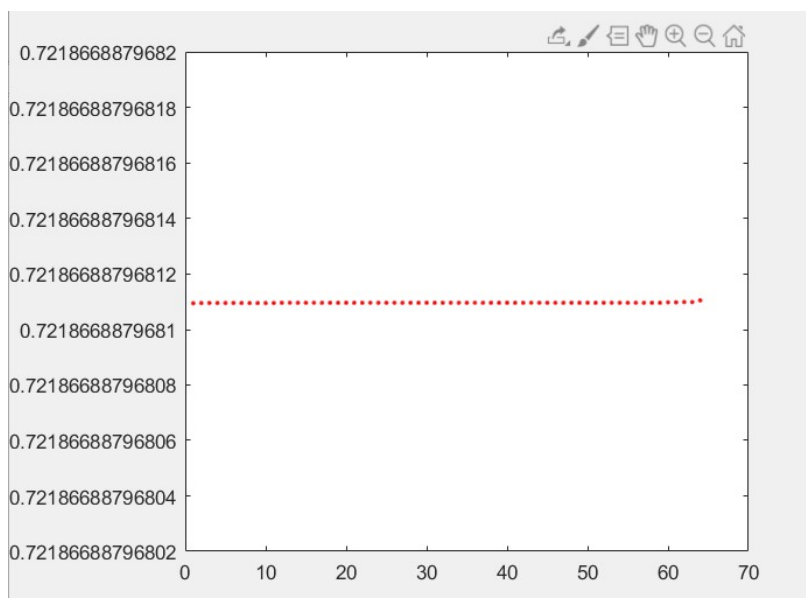


图 2: 运行结果图

何都是 $|b_1| = |b_2| = \dots = |b_{64}|$ 。

5.2.2 考虑实际情况的限制（后期研究方向）

在实际情况下，显然不可能使得 $|b_1| = |b_2| = \dots = |b_{64}|$ ，因为此时在星座图上，信号点的分布极其集中，误判率会上升，所以应当考虑除了熵约束以外其他的约束条件，误判率便纳入约束条件的范围。

此问题是一个开放性的问题，学术界目前也没有发现最优解，对“最优”的定义也有所不同。因为它的未知参数和所应考虑的功能实在太多。此处我们令星座点关于原点轴对称分布，并设与原点距离相同的点必须具有相同的概率密度分布。即 $p_i$ 为仅与原点位置有关的函数。我们主要先考虑几何分布的要求，考察多种分布模型，如B题几何分布图中给出的分布；将连续的麦克斯韦速率分布离散化并用于几何成型的分布。然后在确定几何成型的形状后考虑概率

密度分布，先假设为超高斯分布，在信息熵不变的约束下求得高斯分布两个参数的条件极值。同时，我们将尝试权衡误判率与使得 $SNR_{eff}$ 最大以定义最佳分布，并且使用matlab信号模拟程序模拟信号的传输，以测试结果。

## 6 队员以及特长

序号	姓名	专业	联系方式（电话）	年级
1	康浩	3190105216	18043123580	求是物理班
2	黄宗豪	3190100771	18857701588	力学
3	黎治圻	3190105633	图灵班	
4	李奇修	3190102511	19908327283	求是物理班